

# Distribution quantique de clés à variables continues

Anthony Leverrier

Télécom ParisTech

20 novembre 2009

# Plan

- 1 Cryptographie quantique à variables continues
- 2 Augmenter la portée
- 3 Preuves de sécurité
- 4 Bilan

# Plan

- 1 **Cryptographie quantique à variables continues**
  - Distribution quantique de clés
  - Variables continues ou discrètes ?
  - Le protocole à modulation gaussienne
- 2 **Augmenter la portée**
  - Le problème de la réconciliation
  - Nouveau protocole
- 3 **Preuves de sécurité**
  - Tailles finies
  - Attaques générales
- 4 **Bilan**
  - Conclusion et perspectives

# Cryptographie et distribution de clés



## Cryptographie

- Alice et Bob veulent échanger des messages de manière sécurisée.
- La sécurité d'un protocole repose sur des hypothèses de complexité : certains problèmes sont supposés difficiles (factorisation, log discret ...)
- sauf si Alice et Bob partagent au préalable une clé secrète

# Code de Vernam

## Le scénario

- Alice veut envoyer un message  $M$  à Bob,
- Alice et Bob possèdent une clé secrète  $C$

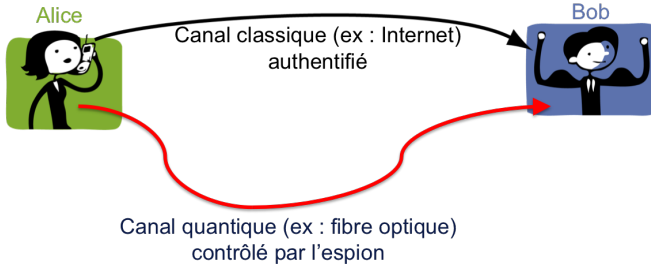
## Chiffrement et déchiffrement

- Alice envoie  $T = M \oplus C$  à Bob
- Bob calcule  $T \oplus C = M$
- Sécurité inconditionnelle si la clé est aussi longue que le message

Problème : comment distribuer la clé initiale ?

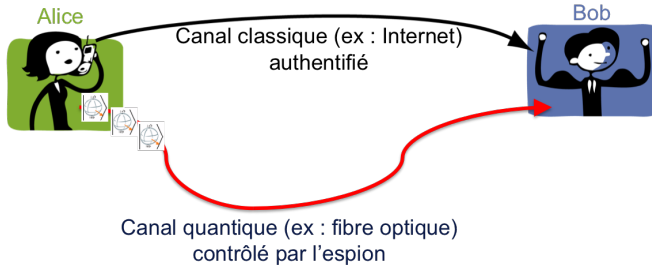
⇒ distribution *quantique* de clés !

# Distribution quantique de clés



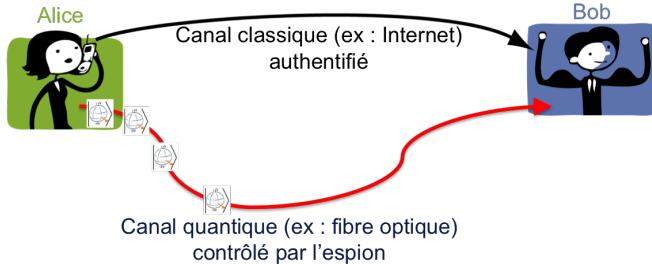
- Alice envoie des états quantiques à Bob : info mutuelle  $I(A; B)$
- Si Eve acquiert de l'information sur ces états, elle les perturbe :  
"bruit"  $\Leftrightarrow I(B; E)$
- Si  $I(A; B) > I(B; E)$ , alors Alice et Bob peuvent extraire une clé de taille  $K \approx I(A; B) - I(B; E)$
- Impossibilité de distribuer des clés à grande distance (centaine de km)

# Distribution quantique de clés



- Alice envoie des états quantiques à Bob : info mutuelle  $I(A; B)$
- Si Eve acquiert de l'information sur ces états, elle les perturbe :  
"bruit"  $\Leftrightarrow I(B; E)$
- Si  $I(A; B) > I(B; E)$ , alors Alice et Bob peuvent extraire une clé de taille  $K \approx I(A; B) - I(B; E)$
- Impossibilité de distribuer des clés à grande distance (centaine de km)

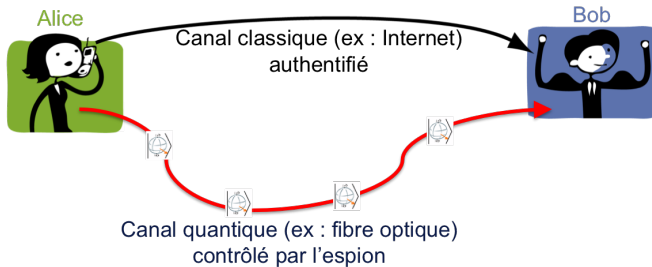
# Distribution quantique de clés



- Alice envoie des états quantiques à Bob : info mutuelle  $I(A; B)$
- Si Eve acquiert de l'information sur ces états, elle les perturbe :  
"bruit"  $\Leftrightarrow I(B; E)$
- Si  $I(A; B) > I(B; E)$ , alors Alice et Bob peuvent extraire une clé de taille  $K \approx I(A; B) - I(B; E)$
- Impossibilité de distribuer des clés à grande distance (centaine de km)

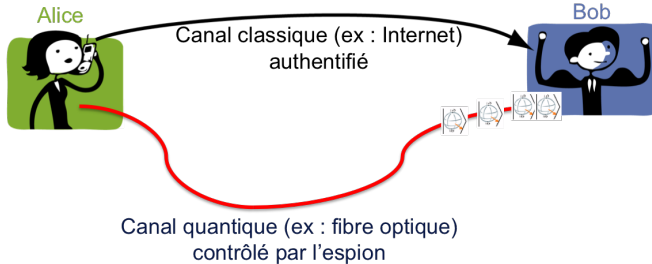


# Distribution quantique de clés



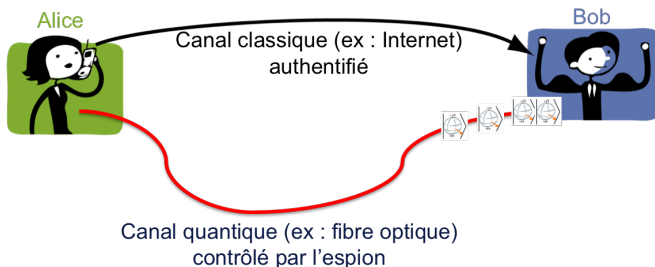
- Alice envoie des états quantiques à Bob : info mutuelle  $I(A; B)$
- Si Eve acquiert de l'information sur ces états, elle les perturbe :  
"bruit"  $\Leftrightarrow I(B; E)$
- Si  $I(A; B) > I(B; E)$ , alors Alice et Bob peuvent extraire une clé de taille  $K \approx I(A; B) - I(B; E)$
- Impossibilité de distribuer des clés à grande distance (centaine de km)

# Distribution quantique de clés



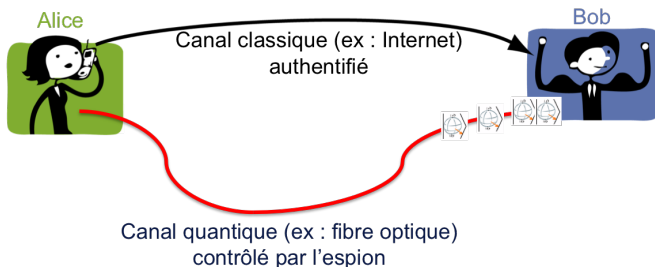
- Alice envoie des états quantiques à Bob : info mutuelle  $I(A; B)$
- Si Eve acquiert de l'information sur ces états, elle les perturbe :  
"bruit"  $\Leftrightarrow I(B; E)$
- Si  $I(A; B) > I(B; E)$ , alors Alice et Bob peuvent extraire une clé de taille  $K \approx I(A; B) - I(B; E)$
- Impossibilité de distribuer des clés à grande distance (centaine de km)

# Distribution quantique de clés



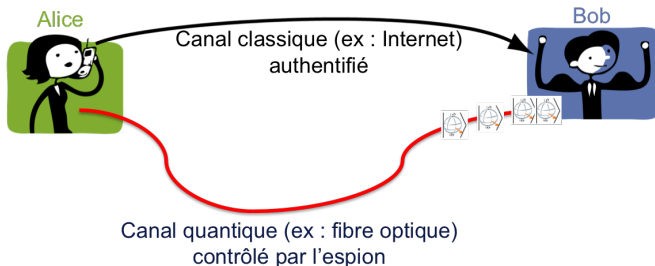
- Alice envoie des états quantiques à Bob : info mutuelle  $I(A; B)$
- Si Eve acquiert de l'information sur ces états, elle les perturbe :  
    **“bruit”**  $\Leftrightarrow I(B; E)$
- Si  $I(A; B) > I(B; E)$ , alors Alice et Bob peuvent extraire une clé de taille  $K \approx I(A; B) - I(B; E)$
- Impossibilité de distribuer des clés à grande distance (centaine de km)

# Distribution quantique de clés



- Alice envoie des états quantiques à Bob : info mutuelle  $I(A; B)$
- Si Eve acquiert de l'information sur ces états, elle les perturbe :  
    **“bruit”**  $\Leftrightarrow I(B; E)$
- Si  $I(A; B) > I(B; E)$ , alors Alice et Bob peuvent extraire une clé de taille  $K \approx I(A; B) - I(B; E)$
- Impossibilité de distribuer des clés à grande distance (centaine de km)

# Distribution quantique de clés



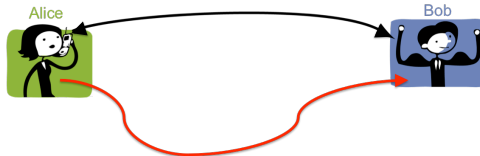
- Alice envoie des états quantiques à Bob : info mutuelle  $I(A; B)$
- Si Eve acquiert de l'information sur ces états, elle les perturbe :  
    **“bruit”**  $\Leftrightarrow I(B; E)$
- Si  $I(A; B) > I(B; E)$ , alors Alice et Bob peuvent extraire une clé de taille  $K \approx I(A; B) - I(B; E)$
- **Impossibilité de distribuer des clés à grande distance (centaine de km)**

# Distribution quantique de clés les 3 étapes

## Echange quantique (+ mesures)

Alice et Bob obtiennent deux chaînes classiques  $X$  et  $Y$  corrélées, l'information de l'espion est représentée par  $\rho_E$

→ caractérise le protocole

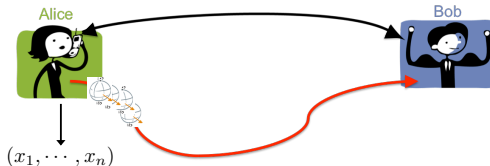


# Distribution quantique de clés les 3 étapes

## Echange quantique (+ mesures)

Alice et Bob obtiennent deux chaînes classiques  $X$  et  $Y$  corrélées, l'information de l'espion est représentée par  $\rho_E$

→ caractérise le protocole

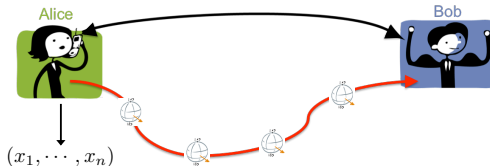


# Distribution quantique de clés les 3 étapes

## Echange quantique (+ mesures)

Alice et Bob obtiennent deux chaînes classiques  $X$  et  $Y$  corrélées, l'information de l'espion est représentée par  $\rho_E$

→ caractérise le protocole



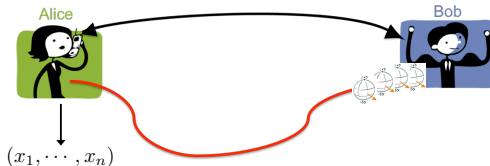


# Distribution quantique de clés les 3 étapes

## Echange quantique (+ mesures)

Alice et Bob obtiennent deux chaînes classiques  $X$  et  $Y$  corrélées, l'information de l'espion est représentée par  $\rho_E$

→ caractérise le protocole

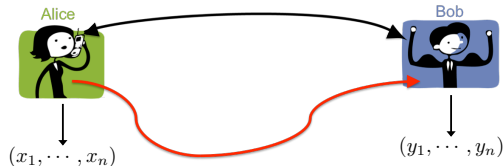


# Distribution quantique de clés les 3 étapes

## Echange quantique (+ mesures)

Alice et Bob obtiennent deux chaînes classiques  $X$  et  $Y$  corrélées, l'information de l'espion est représentée par  $\rho_E$

→ caractérise le protocole

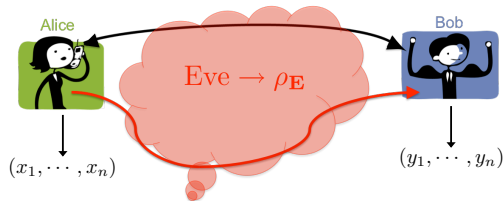


# Distribution quantique de clés les 3 étapes

## Echange quantique (+ mesures)

Alice et Bob obtiennent deux chaînes classiques  $X$  et  $Y$  corrélées, l'information de l'espion est représentée par  $\rho_E$

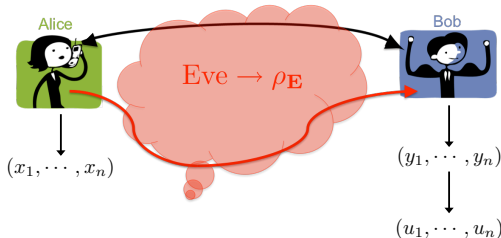
→ caractérise le protocole



# Distribution quantique de clés les 3 étapes

## Réconciliation (inverse)

$X, Y$  + correction d'erreurs : Alice et Bob se mettent d'accord sur une chaîne commune  $U$  (partiellement connue de l'espion)  
→  $\pm$  difficile suivant la nature de  $X$  et  $Y$ .

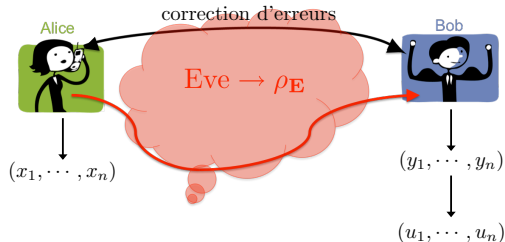


# Distribution quantique de clés

## les 3 étapes

### Réconciliation (inverse)

$X, Y$  + correction d'erreurs : Alice et Bob se mettent d'accord sur une chaîne commune  $U$  (partiellement connue de l'espion)  
→  $\pm$  difficile suivant la nature de  $X$  et  $Y$ .

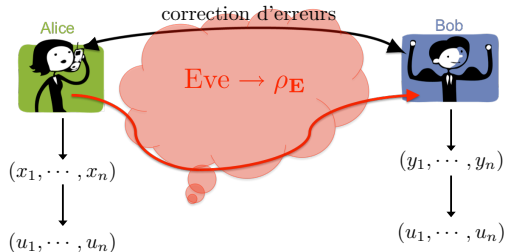


# Distribution quantique de clés

## les 3 étapes

### Réconciliation (inverse)

$X, Y$  + correction d'erreurs : Alice et Bob se mettent d'accord sur une chaîne commune  $U$  (partiellement connue de l'espion)  
→  $\pm$  difficile suivant la nature de  $X$  et  $Y$ .



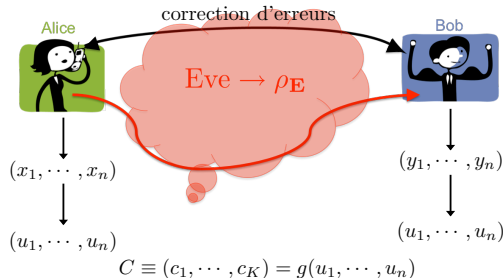
# Distribution quantique de clés

## les 3 étapes

### Amplification de confidentialité

Alice et Bob appliquent une fonction de hachage  $g$  à  $U$   
→ clé aléatoire, inconnue d'Eve

**Le bruit réduit la taille de la clé, pas sa sécurité !**



# Plan

- 1 Cryptographie quantique à variables continues
  - Distribution quantique de clés
  - **Variables continues ou discrètes ?**
  - Le protocole à modulation gaussienne
- 2 Augmenter la portée
  - Le problème de la réconciliation
  - Nouveau protocole
- 3 Preuves de sécurité
  - Tailles finies
  - Attaques générales
- 4 Bilan
  - Conclusion et perspectives



# Variables continues ou discrètes ?

## Variables discrètes

- protocoles les plus courants
- information encodée par ex. sur la polarisation d'un photon
- Bob mesure avec des compteurs de photons

## Variables continues (depuis 2000)

- information encodée dans l'espace des phases : quadratures d'états cohérents (composantes cartésiennes du champ EM quantifié)
- Bob mesure **une** quadrature avec une **détection homodyne**
- résultats de mesure continus

## Avantages des variables continues

- pas besoin de produire ou détecter de photons uniques
- n'utilise que des composants télécom standards

# Variables continues ou discrètes ?

## Variables discrètes

- protocoles les plus courants
- information encodée par ex. sur la polarisation d'un photon
- Bob mesure avec des compteurs de photons

## Variables continues (depuis 2000)

- information encodée dans l'espace des phases : quadratures d'états cohérents (composantes cartésiennes du champ EM quantifié)
- Bob mesure **une** quadrature avec une **détection homodyne**
- résultats de mesure continus

## Avantages des variables continues

- pas besoin de produire ou détecter de photons uniques
- n'utilise que des composants télécom standards

# Variables continues ou discrètes ?

## Variables discrètes

- protocoles les plus courants
- information encodée par ex. sur la polarisation d'un photon
- Bob mesure avec des compteurs de photons

## Variables continues (depuis 2000)

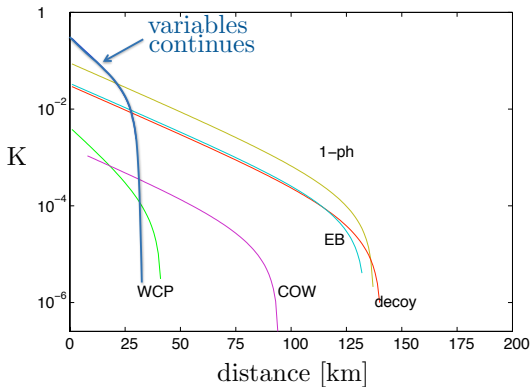
- information encodée dans l'espace des phases : quadratures d'états cohérents (composantes cartésiennes du champ EM quantifié)
- Bob mesure **une** quadrature avec une **détection homodyne**
- résultats de mesure continus

## Avantages des variables continues

- pas besoin de produire ou détecter de photons uniques
- n'utilise que des composants télécom standards

# Variables continues ou discrètes ?

mais ... portée apparemment limitée



V. Scarani et al, Rev. Mod. Phys. **81**, 1301 (2009)

# Variables continues ou discrètes ?

	<b>Var. discrètes</b>	<b>Var. continues</b>
<b>Support de l'information</b>	polarisation de photons uniques	quadratures d'états cohérents
<b>Détection</b>	comptage de photons	détection homodyne → interférométrie
<b>Performances</b>	longues distances (100-200 km)	Taux important ... à courtes distances (30 km)
<b>Principale limitation</b>	technologique (détecteurs)	algorithmique (réconciliation)

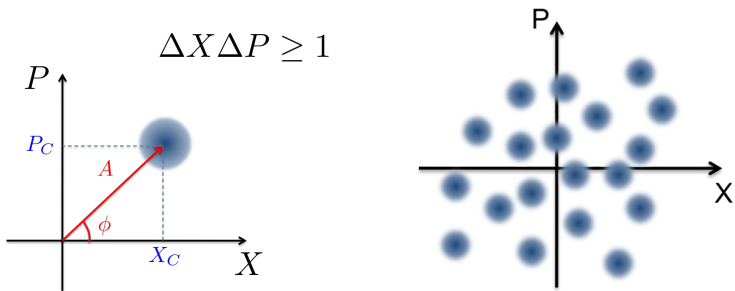
Objectif initial de la thèse : résoudre ce problème !

# Plan

- 1 Cryptographie quantique à variables continues
  - Distribution quantique de clés
  - Variables continues ou discrètes ?
  - **Le protocole à modulation gaussienne**
- 2 Augmenter la portée
  - Le problème de la réconciliation
  - Nouveau protocole
- 3 Preuves de sécurité
  - Tailles finies
  - Attaques générales
- 4 Bilan
  - Conclusion et perspectives

# Variables continues : le protocole à modulation gaussienne

Alice envoie  $n$  états cohérents avec une modulation gaussienne.

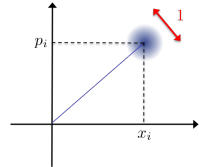


Pour chaque état, Bob mesure aléatoirement l'une des 2 quadratures.

# Variables continues : le protocole à modulation gaussienne

## Modèle du canal gaussien

- état initial centré en  $(x_i, p_i)$ , variance 1
- transmission  $T$   
→ centré en  $(\sqrt{T}x_i, \sqrt{T}p_i)$ ,
- excès de bruit  $\xi$   
→ variance finale  $1 + T\xi$



## Bob mesure une quadrature et obtient $y_i$

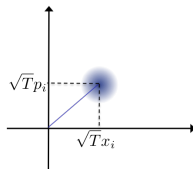
- $x_i \sim \mathcal{N}(0, V_A)$
- $y_i = \sqrt{T}x_i + z_i$  avec  $z_i \sim \mathcal{N}(0, 1 + T\xi)$



# Variables continues : le protocole à modulation gaussienne

## Modèle du canal gaussien

- état initial centré en  $(x_i, p_i)$ , variance 1
- transmission  $T$   
→ centré en  $(\sqrt{T}x_i, \sqrt{T}p_i)$ ,
- excès de bruit  $\xi$   
→ variance finale  $1 + T\xi$



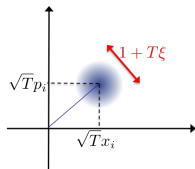
## Bob mesure une quadrature et obtient $y_i$

- $x_i \sim \mathcal{N}(0, V_A)$
- $y_i = \sqrt{T}x_i + z_i$  avec  $z_i \sim \mathcal{N}(0, 1 + T\xi)$

# Variables continues : le protocole à modulation gaussienne

## Modèle du canal gaussien

- état initial centré en  $(x_i, p_i)$ , variance 1
- transmission  $T$   
→ centré en  $(\sqrt{T}x_i, \sqrt{T}p_i)$ ,
- excès de bruit  $\xi$   
→ variance finale  $1 + T\xi$



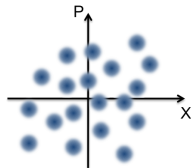
## Bob mesure une quadrature et obtient $y_i$

- $x_i \sim \mathcal{N}(0, V_A)$
- $y_i = \sqrt{T}x_i + z_i$  avec  $z_i \sim \mathcal{N}(0, 1 + T\xi)$

# Variables continues : le protocole à modulation gaussienne

## Modèle du canal gaussien

- état initial centré en  $(x_i, p_i)$ , variance 1
- transmission  $T$   
→ centré en  $(\sqrt{T}x_i, \sqrt{T}p_i)$ ,
- excès de bruit  $\xi$   
→ variance finale  $1 + T\xi$



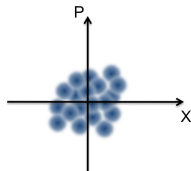
## Bob mesure une quadrature et obtient $y_i$

- $x_i \sim \mathcal{N}(0, V_A)$
- $y_i = \sqrt{T}x_i + z_i$  avec  $z_i \sim \mathcal{N}(0, 1 + T\xi)$

# Variables continues : le protocole à modulation gaussienne

## Modèle du canal gaussien

- état initial centré en  $(x_i, p_i)$ , variance 1
- transmission  $T$   
→ centré en  $(\sqrt{T}x_i, \sqrt{T}p_i)$ ,
- excès de bruit  $\xi$   
→ variance finale  $1 + T\xi$



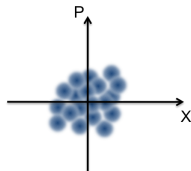
## Bob mesure une quadrature et obtient $y_i$

- $x_i \sim \mathcal{N}(0, V_A)$
- $y_i = \sqrt{T}x_i + z_i$  avec  $z_i \sim \mathcal{N}(0, 1 + T\xi)$

# Variables continues : le protocole à modulation gaussienne

## Modèle du canal gaussien

- état initial centré en  $(x_i, p_i)$ , variance 1
- transmission  $T$   
→ centré en  $(\sqrt{T}x_i, \sqrt{T}p_i)$ ,
- excès de bruit  $\xi$   
→ variance finale  $1 + T\xi$



## Bob mesure une quadrature et obtient $y_i$

- $x_i \sim \mathcal{N}(0, V_A)$
- $y_i = \sqrt{T}x_i + z_i$  avec  $z_i \sim \mathcal{N}(0, 1 + T\xi)$

# Taux secret $K = I(A; B) - I(B; E)$

## Dépend des attaques considérées

- générales : l'espion est limité uniquement par la MQ
- collectives : l'espion agit de la même façon pour chaque impulsion
  - raisonnables : optimales pour la plupart des protocoles
  - beaucoup plus faciles à étudier

## Dépend d'hypothèses

- réconciliation parfaite ou imparfaite
- limite asymptotique, ou effets de taille finie

## Dépend de l'implémentation

problème des canaux cachés :  
est-ce que l'implémentation correspond bien au modèle théorique ?

# Taux secret $K = I(A; B) - I(B; E)$

## Dépend des attaques considérées

- générales : l'espion est limité uniquement par la MQ
- **collectives** : l'espion agit de la même façon pour chaque impulsion
  - raisonnables : optimales pour la plupart des protocoles
  - beaucoup plus faciles à étudier

## Dépend d'hypothèses

- réconciliation parfaite ou **imparfaite**
- **limite asymptotique**, ou effets de taille finie

## Dépend de l'implémentation

problème des canaux cachés :  
est-ce que l'implémentation correspond bien au modèle théorique ?

# Taux secret $K = I(A; B) - I(B; E)$

## Dépend des attaques considérées

- **générales** : l'espion est limité uniquement par la MQ
- collectives : l'espion agit de la même façon pour chaque impulsion
  - raisonnables : optimales pour la plupart des protocoles
  - beaucoup plus faciles à étudier

## Dépend d'hypothèses

- réconciliation parfaite ou **imparfaite**
- limite asymptotique, ou **effets de taille finie**

## Dépend de l'implémentation

problème des canaux cachés :  
est-ce que l'implémentation correspond bien au modèle théorique ?



# Plan

- 1 Cryptographie quantique à variables continues
  - Distribution quantique de clés
  - Variables continues ou discrètes ?
  - Le protocole à modulation gaussienne
- 2 Augmenter la portée
  - Le problème de la réconciliation
  - Nouveau protocole
- 3 Preuves de sécurité
  - Tailles finies
  - Attaques générales
- 4 Bilan
  - Conclusion et perspectives

# Le problème de la réconciliation

Taux théorique :  $K_{\text{th}} = I(A; B) - \chi(B; E)$

- $I(A; B) = \frac{1}{2} \log_2(1 + \text{SNR})$  (pour un canal gaussien)
- $\text{SNR} = \frac{TV_A}{1+T\xi}$
- $\chi(B; E)$  : généralise  $I(B; E)$  si Eve fait des mesures quantiques collectives

$K_{\text{th}} > 0$  pour toute transmission  $T$  (à  $\xi$  faible)

En pratique :  $K_{\text{prat}} = \beta I(A; B) - \chi(B; E)$

- réconciliation **imparfaite** : Alice et Bob n'extraient que  $\beta I(A; B)$
- $\beta$  = efficacité de réconciliation ( $< 1$ )
- $K_{\text{prat}}$  s'annule à distance finie : 30 à 50 km

# Réconciliation de variables gaussiennes

$Y$  vecteur gaussien :  $y_i = \sqrt{T} x_i + z_i$

Idée 1 : discrétiser  $y_i$  (Réconciliation par tranches)

$$\hat{y}_i = u_{i_1} u_{i_2} u_{i_3} u_{i_4}$$

Bob envoie de la redondance à Alice : syndromes de codes LDPC

⇒ fonctionne bien à SNR élevé

⇒ fonctionne mal à faible SNR (brise la symétrie gaussienne)

# Réconciliation de variables gaussiennes

$Y$  vecteur gaussien :  $y_i = \sqrt{T} x_i + z_i$

Idée 1 : discrétiser  $y_i$  (Réconciliation par tranches)

$$\hat{y}_i = u_{i_1} u_{i_2} u_{i_3} u_{i_4}$$

Bob envoie de la redondance à Alice : syndromes de codes LDPC

⇒ fonctionne bien à SNR élevé

⇒ fonctionne mal à faible SNR (brise la symétrie gaussienne)

Idée 2 : utiliser le signe de  $y_i$

$$u_i = \text{signe}(y_i),$$

Bob envoie  $|y_i|$  (+ syndrome de code LDPC) à Alice

⇒ fonctionne mal à SNR élevé ( $\beta I(A; B) < 1$ )

⇒ ne fonctionne pas très bien à faible SNR (mais respecte la symétrie)

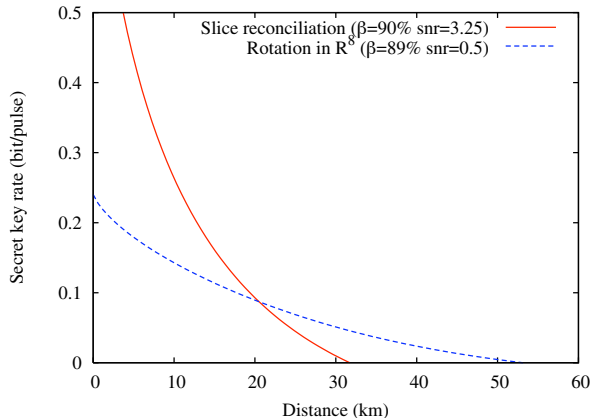
# Réconciliation de variables gaussiennes

$Y$  vecteur gaussien :  $y_i = \sqrt{T} x_i + z_i$

Nouvelle idée : généralisation multidimensionnelle

- $Y/\|Y\|$  est uniformément réparti sur  $\mathcal{S}^{n-1}$
- $U \in \{-1/\sqrt{n}, 1/\sqrt{n}\}^n$ , Bob envoie  $UY^{-1}$  à Alice
- construction de  $UY^{-1}$  possible uniquement en dimensions 1, 2, 4 et 8
- dim 8 fonctionne assez bien à faible SNR

# Réconciliation de variables gaussiennes



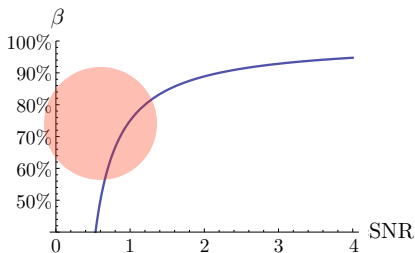
portée 30 km  $\rightarrow$  50 km avec le même hardware !

A. Leverrier, *et al*, Phys. Rev. A **77**, 042325 (2008)

# Réconciliation de variables gaussiennes

## Problème

Pour augmenter la portée, il faut travailler à faible SNR.  
Tous les protocoles de réconciliation connus sont mauvais dans ce régime.



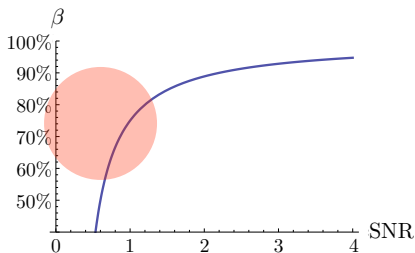
## Solution

Abandonner la modulation gaussienne !

# Réconciliation de variables gaussiennes

## Problème

Pour augmenter la portée, il faut travailler à faible SNR.  
Tous les protocoles de réconciliation connus sont mauvais dans ce régime.



## Solution

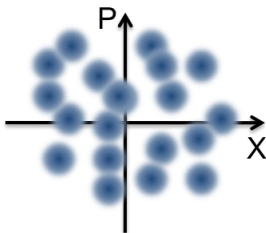
Abandonner la modulation gaussienne !



# Plan

- 1 Cryptographie quantique à variables continues
  - Distribution quantique de clés
  - Variables continues ou discrètes ?
  - Le protocole à modulation gaussienne
- 2 Augmenter la portée
  - Le problème de la réconciliation
  - Nouveau protocole
- 3 Preuves de sécurité
  - Tailles finies
  - Attaques générales
- 4 Bilan
  - Conclusion et perspectives

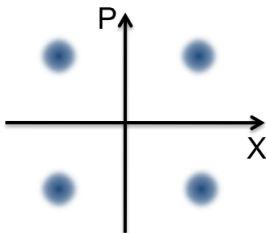
# Modulation quaternaire



## Nouveau protocole

- Alice n'utilise que 4 états pour encoder de l'information.
- $y_i = \sqrt{T}x_i + z_i$  avec  $x_i = \pm A$ 
  - ⇒ problème de codage de canal très étudié : bons codes LDPC
  - ⇒ réconciliation à (très) faible SNR facile :  $u_i = \text{signe}(y_i)$

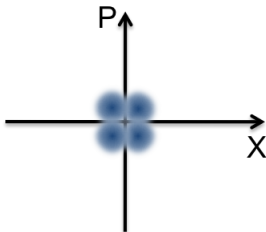
# Modulation quaternaire



## Nouveau protocole

- Alice n'utilise que 4 états pour encoder de l'information.
- $y_i = \sqrt{T}x_i + z_i$  avec  $x_i = \pm A$ 
  - ⇒ problème de codage de canal très étudié : bons codes LDPC
  - ⇒ réconciliation à (très) faible SNR facile :  $u_i = \text{signe}(y_i)$

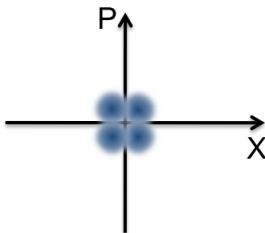
# Modulation quaternaire



## Nouveau protocole

- Alice n'utilise que 4 états pour encoder de l'information.
- $y_i = \sqrt{T}x_i + z_i$  avec  $x_i = \pm A$ 
  - ⇒ problème de codage de canal très étudié : bons codes LDPC
  - ⇒ réconciliation à (très) faible SNR facile :  $u_i = \text{signe}(y_i)$

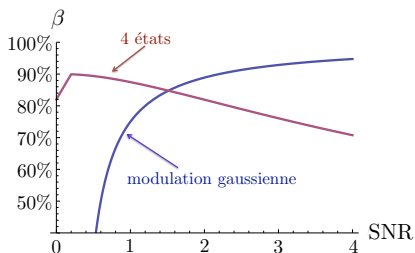
# Modulation quaternaire



## Nouveau protocole

- Alice n'utilise que 4 états pour encoder de l'information.
- $y_i = \sqrt{T}x_i + z_i$  avec  $x_i = \pm A$ 
  - ⇒ problème de codage de canal très étudié : bons codes LDPC
  - ⇒ réconciliation à (très) faible SNR facile :  $u_i = \text{signe}(y_i)$

# Modulation quaternaire



## Performances du nouveau protocole

- Rappel :  $K = \beta I(A; B) - \chi(B; E)$
- le protocole à 4 états résout le problème de  $\beta I(A; B)$
- problème : que dire de  $\chi(B; E)$  ?

# Sécurité : comment calculer $\chi(B; E)$ ?

2 versions équivalentes du protocole

## Protocole *Prépare et mesure*

- utilisé en pratique
- Alice prépare des états cohérents et les envoie à Bob
- pas facile de calculer  $\chi(B; E)$  dans ce scénario

## Protocole intriqué équivalent (“purification” du protocole P&M)

- il existe un protocole où Alice prépare des états intriqués  $|\psi\rangle_{A,B_0}$
- elle mesure une moitié et envoie la seconde moitié à Bob
- par ex, pour le protocole à modulation gaussienne,  $|\psi\rangle_{A,B_0}$  est un état EPR, et Alice procède à une mesure hétérodyne.

# Sécurité : comment calculer $\chi(B; E)$ ?

## Le problème

- protocole intriqué : Alice et Bob partagent un état  $\rho_{AB}$
- il existe  $f$  telle que  $\chi(B; E) = f(\rho_{AB})$
- on ne connaît pas bien  $\rho_{AB}$  (dimension infinie)
- on ne sait pas calculer  $f$  en général (problème d'optimisation trop compliqué)

## Miracle : optimalité gaussienne

(M. Wolf, *et al* 2005, R. Garcia-Patron & N.J. Cerf 2006)

- $\rho_{AB}^G$  : état gaussien avec même matrice de covariance que  $\rho_{AB}$
- théorème :  $f(\rho_{AB}) \leq f(\rho_{AB}^G)$
- on sait calculer  $f$  pour les états gaussiens
- on mesure facilement la matrice de covariance de  $\rho_{AB}$   
⇒ 2 paramètres à évaluer :  $T$  et  $\xi$



# Sécurité : comment calculer $\chi(B; E)$ ?

## Le problème

- protocole intriqué : Alice et Bob partagent un état  $\rho_{AB}$
- il existe  $f$  telle que  $\chi(B; E) = f(\rho_{AB})$
- on ne connaît pas bien  $\rho_{AB}$  (dimension infinie)
- on ne sait pas calculer  $f$  en général (problème d'optimisation trop compliqué)

## Miracle : optimalité gaussienne

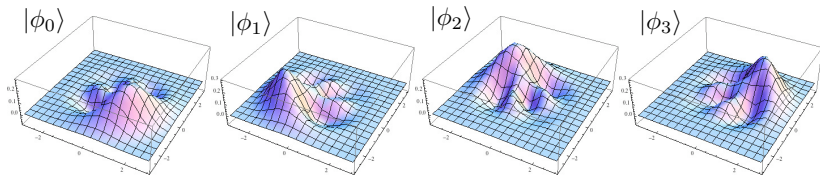
(M. Wolf, *et al* 2005, R. Garcia-Patron & N.J. Cerf 2006)

- $\rho_{AB}^G$  : état gaussien avec même matrice de covariance que  $\rho_{AB}$
- théorème :  $f(\rho_{AB}) \leq f(\rho_{AB}^G)$
- on sait calculer  $f$  pour les états gaussiens
- on mesure facilement la matrice de covariance de  $\rho_{AB}$   
⇒ 2 paramètres à évaluer :  $T$  et  $\xi$

# Modulation quaternaire

## Protocole intriqué à 4 états

- $|\psi\rangle_{AB_0} = \frac{1}{2} \left( |\phi_0\rangle_A |\alpha_0\rangle_{B_0} + |\phi_1\rangle_A |\alpha_1\rangle_{B_0} + |\phi_2\rangle_A |\alpha_2\rangle_{B_0} + |\phi_3\rangle_A |\alpha_3\rangle_{B_0} \right)$
- $|\alpha_0\rangle, |\alpha_1\rangle, |\alpha_2\rangle, |\alpha_3\rangle$  : états cohérents
- $|\phi_0\rangle, |\phi_1\rangle, |\phi_2\rangle, |\phi_3\rangle$  : états orthogonaux

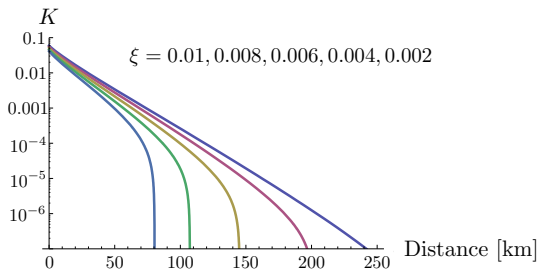


$|\psi\rangle_{AB_0}$  est quasiment gaussien à faible variance de modulation

$$\chi(B; E)_4 \approx \chi(B; E)_{\text{gauss}} \text{ mais } \beta I(A; B)_4 \gg \beta I(A; B)_{\text{gauss}}$$

$$\Rightarrow K_4 \gg K_{\text{gauss}}$$

# Performances du nouveau protocole

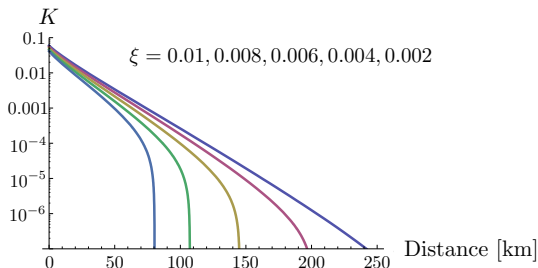


A. Leverrier & P. Grangier, Phys. Rev. Lett. **102**, 180504 (2009)

- distribution possible à longue distance :  $K \propto T$
- performances très sensibles à la qualité de l'implémentation (excès de bruit)

**Attention** : jusqu'ici, on a considéré uniquement les attaques collectives dans la limite asymptotique

# Performances du nouveau protocole



A. Leverrier & P. Grangier, Phys. Rev. Lett. **102**, 180504 (2009)

- distribution possible à longue distance :  $K \propto T$
- performances très sensibles à la qualité de l'implémentation (excès de bruit)

**Attention** : jusqu'ici, on a considéré uniquement les attaques collectives dans la limite asymptotique

# Plan

- 1 Cryptographie quantique à variables continues
  - Distribution quantique de clés
  - Variables continues ou discrètes ?
  - Le protocole à modulation gaussienne
- 2 Augmenter la portée
  - Le problème de la réconciliation
  - Nouveau protocole
- 3 Preuves de sécurité
  - Tailles finies
  - Attaques générales
- 4 Bilan
  - Conclusion et perspectives

# Problème des tailles finies

## Taux secret non asymptotique (contre les attaques collectives)

$$k = \frac{n}{N} (\beta I(A; B) - \chi_{\text{EP}}(B; E) - \Delta(n))$$

taille du bloc  $N$  dont  $\begin{cases} n & \text{pour la distillation de clé} \\ N - n & \text{pour l'estimation de paramètres} \end{cases}$

- $\chi_{\text{EP}}(B; E)$  = "estimation" de  $\chi(B; E)$
- $\Delta(n) \rightarrow 0$  pour  $n \rightarrow \infty$  (indépendant du protocole)

## Principal problème : estimation du canal quantique

- estimation **dans le pire des cas**  
 $\Rightarrow$  pires paramètres  $T$  et  $\xi$  compatibles avec les données sauf avec proba  $1 - \epsilon$  ( $\epsilon = 10^{-10}$  par ex.)
- hypothèse : modèle gaussien

# Problème des tailles finies

## Taux secret non asymptotique (contre les attaques collectives)

$$k = \frac{n}{N} (\beta I(A; B) - \chi_{\text{EP}}(B; E) - \Delta(n))$$

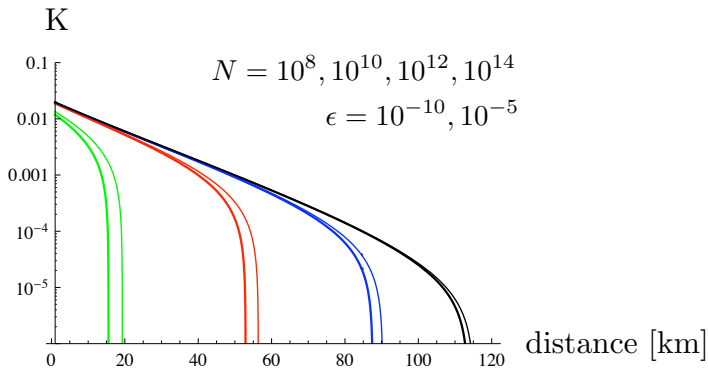
taille du bloc  $N$  dont  $\begin{cases} n & \text{pour la distillation de clé} \\ N - n & \text{pour l'estimation de paramètres} \end{cases}$

- $\chi_{\text{EP}}(B; E)$  = "estimation" de  $\chi(B; E)$
- $\Delta(n) \rightarrow 0$  pour  $n \rightarrow \infty$  (indépendant du protocole)

## Principal problème : estimation du canal quantique

- estimation **dans le pire des cas**  
 $\Rightarrow$  pires paramètres  $T$  et  $\xi$  compatibles avec les données sauf avec proba  $1 - \epsilon$  ( $\epsilon = 10^{-10}$  par ex.)
- hypothèse : modèle gaussien

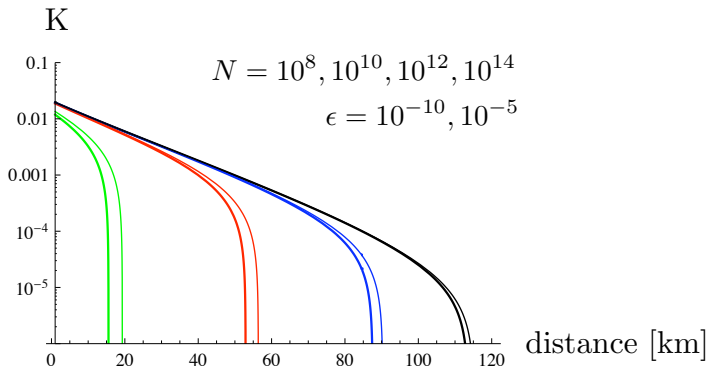
# Problème des tailles finies



il faut des blocs très longs ( $N \geq 10^8$ ) !



# Problème des tailles finies



il faut des blocs très longs ( $N \geq 10^8$ ) !

# Plan

- 1 Cryptographie quantique à variables continues
  - Distribution quantique de clés
  - Variables continues ou discrètes ?
  - Le protocole à modulation gaussienne
- 2 Augmenter la portée
  - Le problème de la réconciliation
  - Nouveau protocole
- 3 Preuves de sécurité
  - Tailles finies
  - **Attaques générales**
- 4 Bilan
  - Conclusion et perspectives

# Attaques générales

## Le problème

- protocole intriqué :  $\rho_{AB}^{(n)} \in (\mathcal{H}_A \otimes \mathcal{H}_B)^{\otimes n}$
- $(\mathcal{H}_A \otimes \mathcal{H}_B)^{\otimes n}$  est beaucoup trop gros !
- attaque collective :  $\rho_{AB}^{(n)} = \int p(\sigma) \sigma_{AB}^{\otimes n} d\sigma$  avec  $\sigma_{AB} \in \mathcal{H}_A \otimes \mathcal{H}_B$  (état i.i.d.)

# Attaques générales

## Le problème

- protocole intriqué :  $\rho_{AB}^{(n)} \in (\mathcal{H}_A \otimes \mathcal{H}_B)^{\otimes n}$
- $(\mathcal{H}_A \otimes \mathcal{H}_B)^{\otimes n}$  est beaucoup trop gros !
- attaque collective :  $\rho_{AB}^{(n)} = \int p(\sigma) \sigma_{AB}^{\otimes n} d\sigma$  avec  $\sigma_{AB} \in \mathcal{H}_A \otimes \mathcal{H}_B$  (état i.i.d.)

## Stratégie

- on utilise les symétries du protocole pour réduire la taille de l'espace pertinent
- ensuite, théorème de de Finetti [1], ou technique de postsélection [2] pour montrer que les attaques collectives sont optimales asymptotiquement :  
état symétrique  $\approx$  état i.i.d.

[1] R. Renner, Nature Physics (2007)

[2] M.Christandl, R. König, R. Renner, PRL (2009)

# Attaques générales

## Le problème

- protocole intriqué :  $\rho_{AB}^{(n)} \in (\mathcal{H}_A \otimes \mathcal{H}_B)^{\otimes n}$
- $(\mathcal{H}_A \otimes \mathcal{H}_B)^{\otimes n}$  est beaucoup trop gros !
- attaque collective :  $\rho_{AB}^{(n)} = \int p(\sigma) \sigma_{AB}^{\otimes n} d\sigma$  avec  $\sigma_{AB} \in \mathcal{H}_A \otimes \mathcal{H}_B$  (état i.i.d.)

## Symétrie habituelle

- protocole **invariant par une permutation** des impulsions
- protocoles à variables continues : ça fonctionne aussi (R. Renner & J.I. Cirac, PRL, 2009)
- bornes non optimales pour les tailles finies ?
- nouvelle symétrie pour les protocoles à variables continues ?

# Nouvelle symétrie dans l'espace des phases

## Nouvelle symétrie (A. Leverrier, *et al*, New J. Phys. 11, 115009, 2009)

- $p(RX, RY) = p(X, Y)$  pour tout  $R \in O(n)$
- le protocole est invariant si Alice et Bob appliquent des opérations gaussiennes passives conjuguées à leurs  $n$  modes respectifs
- la caractérisation des états bipartites avec cette invariance n'est pas très simple ... on ne peut pas encore conclure

## Résultats partiels (A. Leverrier & N.J. Cerf, Phys. Rev. A, **80**, 010102, 2009)

- cas monopartite : étude des états invariants par transformation gaussienne passive
- mélanges d'états de Fock généralisés à  $n$  modes
- théorème de de Finetti : ces états tendent vers des états thermiques multimodes quand on trace suffisamment de modes

# Plan

- 1 Cryptographie quantique à variables continues
  - Distribution quantique de clés
  - Variables continues ou discrètes ?
  - Le protocole à modulation gaussienne
- 2 Augmenter la portée
  - Le problème de la réconciliation
  - Nouveau protocole
- 3 Preuves de sécurité
  - Tailles finies
  - Attaques générales
- 4 Bilan
  - Conclusion et perspectives

# Conclusion et perspectives

## Amélioration des performances des protocoles à variables continues

- protocole à modulation gaussienne : nouvelle technique de réconciliation optimale : portée 30 km  $\rightarrow$  50 km
- nouveau protocole à 4 états : portée  $>$  100 km  
 $\Rightarrow$  **bonne alternative aux variables discrètes**

## Preuves de sécurité

- analyse des effets de taille finie
- étude de nouvelles symétries dans l'espace des phases



# Conclusion et perspectives

## Amélioration des performances des protocoles à variables continues

- protocole à modulation gaussienne : nouvelle technique de réconciliation optimale : portée 30 km  $\rightarrow$  50 km
- nouveau protocole à 4 états : portée  $>$  100 km  
 $\Rightarrow$  **bonne alternative aux variables discrètes**

## Preuves de sécurité

- analyse des effets de taille finie
- étude de nouvelles symétries dans l'espace des phases